

# Codes convolutifs et codes concaténés associés

Charly Poulliat

6 décembre 2020

# Plan

- 1 Un exemple : le code  $(5, 7)_8$
- 2 Codes convolutifs : représentations
- 3 Décodage MAP

# Plan

- 1 Un exemple : le code  $(5, 7)_8$ 
  - Exemple du code  $(5, 7)$
- 2 Codes convolutifs : représentations
- 3 Décodage MAP

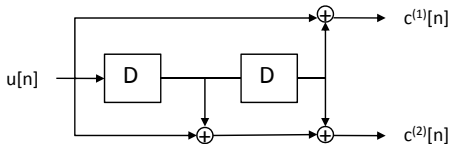
]

# Plan

- 1 Un exemple : le code  $(5, 7)_8$ 
  - Exemple du code (5,7)

# Introduction : le code $(5, 7)_8$

## Représentation par registre à décalage



- **Représentation vectorielle** :  $g^{(1)} = [101] = [5]_8$  et  $g^{(2)} = [111] = [7]_8$
- **Représentation polynomiale (opérateur du retard  $D$ )** :  $g^{(1)}(D) = 1 + D^2$  et  $g^{(2)}(D) = 1 + D + D^2$
- **Rendement** :  $R = k/n = 1/2$  ( $k$  entrées,  $n$  sorties).
- **Mémoire**  $\nu = 2$ , longueur de contrainte  $l_c = \nu + 1$ .

# Introduction : le code $(5, 7)_8$

## Notations

- **Relations entrées-sorties en temps** : soit  $u[n]$  la séquence d'entrée, on a alors comme sorties

$$c^{(i)}[n] = u \circledast g^{(i)}[n], \forall i \in \{1, 2\}$$

où  $\circledast$  représente le produit de convolution sur  $GF(2)$ .

- **Représentation polynomiale** :  $c^{(i)}(D) = u(D)g^{(i)}(D), \forall i \in \{1, 2\}$
- **Représentation vectorielle polynomiale** :

$$\underline{c}(D) = [c^{(1)}(D), c^{(2)}(D)] = u(D)[g^{(1)}(D), g^{(2)}(D)] = u(D)G(D)$$

où  $G(D)$  matrice génératrice polynômiale de taille  $k \times n$ .

# Introduction : le code $(5, 7)_8$

## Terminaison de codage

- **Troncature** : pas de terminaison particulière du codage. Pour  $K$  bits en entrée, on a émis  $N = K/R$  bits codés.
- **Fermeture de treillis** : On ajoute aux  $K$  bits d'information  $\nu$  bits, dits de fermeture, pour rejoindre l'état 'nul' du registre. Cela entraîne une baisse du rendement  $R$ . Ici,  $R = K/2 * (K + 2)$ .
- **Fermeture circulaire de treillis** : tail-biting

# Plan

- 1 Un exemple : le code  $(5, 7)_8$
- 2 Codes convolutifs : représentations
  - Codes convolutifs - cas général
  - Codes convolutifs récurrents
  - Représentation par machine à états finis
  - Représentation en treillis
- 3 Décodage MAP



# Plan

- 2 Codes convolutifs : représentations
  - Codes convolutifs - cas général
  - Codes convolutifs rékursifs
  - Représentation par machine à états finis
  - Représentation en treillis

# Codes convolutifs

## Notations

- **Rendement** :  $k$  entrées et  $n$  sorties d'où le rendement  $R = k/n$ .
- **Représentation vectorielle polynomiale** : soient

$$\underline{u}(D) = [u^{(1)}(D), u^{(2)}(D), \dots, u^{(k)}(D)],$$

$$\underline{c}(D) = [c^{(1)}(D), c^{(2)}(D), \dots, c^{(n)}(D)]$$

$$\underline{c}(D) = \sum_{i=1}^k u^{(i)}(D) \underline{g}_i(D)$$

où  $\underline{g}_i(D) = [g_i^{(1)}(D), g_i^{(2)}(D), \dots, g_i^{(n)}(D)]$  et  $g_i^{(j)}(D)$  représente le transfert entre l'entrée  $i$  et la sortie  $j$ .

$$\underline{c}(D) = \underline{u}(D) G(D)$$

où  $G(D)$  matrice génératrice polynômiale de taille  $k \times n$ .

- **Matrice de parité** :  $\underline{c}(D) H^T(D)$  et donc  $G(D) H^T(D) = \mathbf{0}$

# Codes convolutifs

## Notations

- **Code récursif** : certaines relations entrées sorties peuvent être définies par un code récursif

$$g_i^{(j)}(D) = \frac{b_0 + b_1 D + b_2 D^2 + \dots + b_m D^m}{1 + a_1 D + a_2 D^2 + \dots + a_m D^m}$$

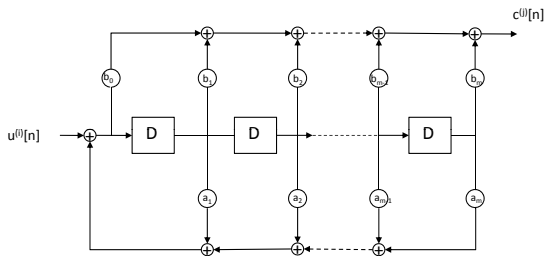


Figure – Implémentation d'un transfert récursif par réalisation d'un filtre récursif à réponse impulsionnelle infinie de Type I

# Codes convolutifs

## Notations

- **Exemple** : code récuratif systématique  $(1, 5/7)_8$  de matrice génératrice

$$G(D) = \begin{bmatrix} 1 & 1 + D^2 \\ 1 + D + D^2 \end{bmatrix}$$

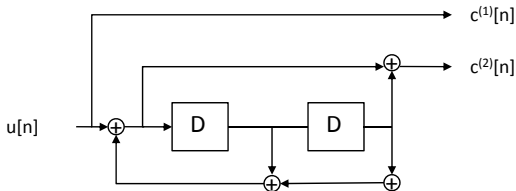
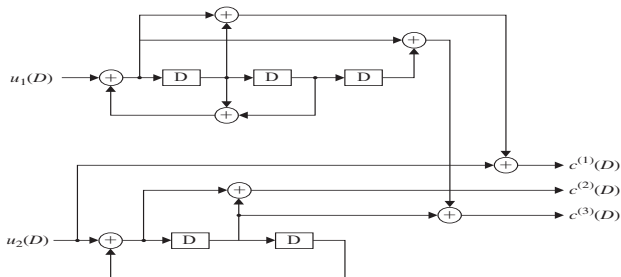


Figure – représentation du code récuratif  $(1,5/7)$

# Codes convolutifs

Notations - exemple pour un code rendement  $R = k/n$



$$G(D) = \begin{pmatrix} \frac{1+D}{1+D+D^2} & 0 & \frac{1+D}{1+D^2} \\ 1 & \frac{1}{1+D} & \frac{D}{1+D^2} \end{pmatrix}$$

$$\underline{u}(D) = [u_1(D), u_2(D)], \underline{c}(D) = [c_1(D), c_2(D), c_3(D)]$$

# Codes convolutifs

## Modèle d'état et représentation par machine à états finis

- **Représentation par machine à états finis** : pour un code de type  $R = 1/n$ ,

$$\{u_k\} \rightarrow \boxed{\underline{S}_n} \rightarrow \{c_k\}$$

où  $c_k = [c_k^{(1)}, c_k^{(2)}, c_k^{(n)}]$  et  $\underline{S}_k$  représente l'état interne du registre à décalage.

- **Représentation fonctionnelle associée** :
  - **Equation d'évolution** : passage d'un état à  $\underline{S}_{k-1}$  à  $\underline{S}_k$ .

$$\underline{S}_k = F_1(\underline{S}_{k-1}, u_k)$$

- **Equation d'observation** : génération des sorties observables  $c_k$ .

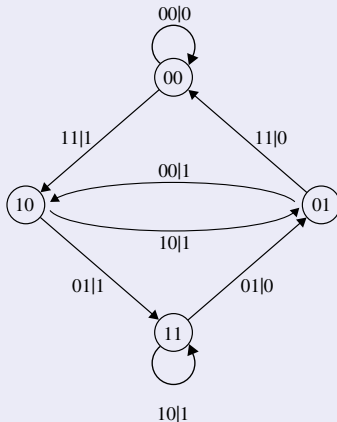
$$c_k = F_2(\underline{S}_{k-1}, u_k)$$

- **Exemple** : Code  $(7, 5)_8$ ,  $\underline{S}_k = [u_k, u_{k-1}]$ .

# Codes convolutifs

Représentation graphique en Diagramme d'Etat

## Code convolutif $(7, 5)_8$



# Codes convolutifs : Représentation en treillis

- **Definition** : représentation graphique du code dans son espace d'état en considérant la dimension temporelle.
  - **Noeuds** : noeuds du graphe associé à un état  $\underline{S}_k$ .
  - **Transitions** : branches entre deux noeuds associées à  $F_1(.)$ .
  - **Étiquettes** : informations portées par les branches ( $u_k, c_k$ ) et données par  $F_2(.)$
- **Propriétés** :
  - Pour un treillis de longueur  $L$ , tout chemin du treillis de  $\underline{S}_0$  à  $\underline{S}_L$  est mot de code obtenu par concaténation des étiquettes  $c_k$  du chemin.
  - Le chemin où tous les  $\underline{S}_k$  sont l'état  $\mathbf{0}$  (représentation binaire naturelle) est le mot de code nul.
  - *Événement minimal* : chemin qui part de l'état  $\underline{S}_k = \mathbf{0}$  et ne revient à cet état que à  $\underline{S}_{k+l}$  pour un certain  $l$ . On lui associe un poids de Hamming grâce aux étiquettes du chemin.
  - $d_{\min}$  est donnée par le poids minimal d'un événement minimal.



# Code convolutif : représentation en treillis

Code  $(7,5)_8$

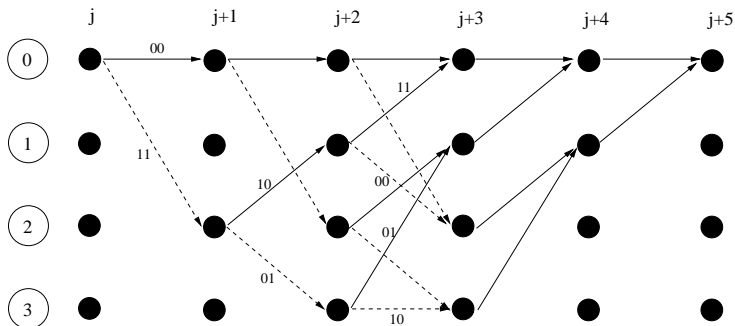


Figure – Treillis du code  $(7,5)$

# Plan

- 1 Un exemple : le code  $(5, 7)_8$
- 2 Codes convolutifs : représentations
- 3 **Décodage MAP**
  - Critère MAP bit
  - Algorithme BCJR
  - BCJR - domaine logarithmique

]

# Plan

3

## Décodage MAP

- Critère MAP bit
- Algorithme BCJR
- BCJR - domaine logarithmique

# Décodage MAP bit

Notations 1/2

## Critère MAP bit

$$\begin{aligned}\hat{u}_n &= \arg \max_{u_n} p(u_n | \mathbf{y}) \\ &= \text{signe}(L(u_n))\end{aligned}\tag{1}$$

avec

- mapping BPSK :  $\{ '0' \leftrightarrow +1, '1' \leftrightarrow -1 \}$ .
- $u_n \in \{-1, +1\}, \forall n \in [1, L]$
- LLR MAP (Log Likelihood Ratio) :

$$L(u_n) = \log \left[ \frac{p(u_n = +1 | \mathbf{y})}{p(u_n = -1 | \mathbf{y})} \right]$$

# Décodage MAP bit

Notations 2/2

## Critère MAP bit

- Longueur de treillis  $L = K + Nf$  ( $K$  bits d'info. +  $Nf$  bits de fermeture).
- Notations vectorielles :

$$\mathbf{c} = [c_1, c_2, \dots, c_L]$$

(mot de code émis) avec  $c_k = [c_k^{(1)}, c_k^{(2)}, \dots, c_k^{(n_c)}]$

$$\mathbf{y} = [y_1, y_2, \dots, y_L]$$

(mot de code reçu) avec  $y_k = [y_k^{(1)}, y_k^{(2)}, \dots, y_k^{(n_c)}]$  et  $y_k^{(j)} = c_k^{(j)} + b_k^{(j)}$

$$\mathbf{y}_k^l = [y_k, y_{k+1}, \dots, y_{l-1}, y_l]$$

# Décodage MAP par bit

## Algorithme BCJR 1

### LLR MAP revisité

$$\begin{aligned}
 L(u_n) &= \log \left[ \frac{p(u_n = +1 | \mathbf{y})}{p(u_n = -1 | \mathbf{y})} \right] \\
 &= \log \left[ \frac{\sum_{\mathcal{S}^+} p(s_{n-1} = s', s_n = s, \mathbf{y})}{\sum_{\mathcal{S}^-} p(s_{n-1} = s', s_n = s, \mathbf{y})} \right] \quad (2)
 \end{aligned}$$

### Notations

- Ensemble des transitions associées à  $u_n = +1$  :

$$\mathcal{S}^+ = \{(s', s) \text{ où } (s_{n-1} = s') \mapsto (s_n = s) | u_n = +1\}$$

- Ensemble des transitions associées à  $u_n = -1$  :

$$\mathcal{S}^- = \{(s', s) \text{ où } (s_{n-1} = s') \mapsto (s_n = s) | u_n = -1\}$$

# Décodage MAP par bit

## Algorithme BCJR 2

### Factorisation de $p(s', s, \mathbf{y})$

$$p(s_{n-1} = s', s_n = s, \mathbf{y}) = \alpha_{n-1}(s') \gamma_n(s', s) \beta_n(s) \quad (3)$$

(4)

$$\alpha_n(s) = p(s_n = s, \mathbf{y}_1^n) \quad (5)$$

$$\beta_n(s) = p(\mathbf{y}_{n+1}^L | s_n = s) \quad (6)$$

$$\gamma_n(s', s) = p(s_n = s, y_n | s_{n-1} = s') \quad (7)$$

### Récursions forward-backward

$$\alpha_n(s) = \sum_{s'} \gamma_n(s', s) \alpha_{n-1}(s') \quad (8)$$

$$\beta_{n-1}(s') = \sum_s \gamma_n(s', s) \beta_n(s) \quad (9)$$

# Décodage MAP par bit

## Algorithme BCJR 3

### Calcul des probabilités de transitions

$$\gamma_n(s', s) = p(s_n = s, y_n | s_{n-1} = s') \quad (10)$$

$$= p(y_n | s', s) \cdot p(s | s') \quad (11)$$

$$(12)$$

avec

$$p(s | s') = \begin{cases} 0 & , \text{ si } \{s' \rightarrow s\} \text{ non valide} \\ \pi(u_n) & , \text{ sinon} \end{cases}$$

$$\gamma_n(s', s) = p(y_n | c_n(s', s)) \pi(u_n) \mathbb{1}_{s' \rightarrow s} \quad (13)$$

avec

$\pi(u_n)$  probabilité à priori de  $u_n$

$c_n(s', s)$  les bits associés à l'étiquette ( $s' \rightarrow s$ )



# Décodage MAP par bit

## Algorithme BCJR 4

### Calcul des probabilités de transitions : cas Gaussien

$$y_n^{(m)} = c_n^{(m)} + b_n^{(m)}, b_n^{(m)} \sim \mathcal{N}(0, \sigma_b^2)$$

$$\gamma_n(s', s) \propto \pi(u_n) \exp \left( - \frac{\sum_{m=1}^{n_c} |y_n^{(m)} - c_n^{(m)}(s', s)|^2}{2\sigma_b^2} \right) \mathbb{1}_{s' \rightarrow s}$$

### Initialisation (fermeture treillis)

$$\alpha_0(0) = 1 \quad , \quad \alpha_0(s) = 0 \text{ sinon} \quad (14)$$

$$\beta_L(0) = 1 \quad , \quad \beta_L(s) = 0 \text{ sinon} \quad (15)$$

# Décodage MAP par bit

Algorithme BCJR dans domaine logarithmique

## Définitions dans le domaine logarithmique

$$\begin{aligned}\tilde{\alpha}_n(s) &\triangleq \log(\alpha_n(s)) \\ &= \log \sum_{s'} \exp(\tilde{\alpha}_{n-1}(s') + \tilde{\gamma}_n(s', s))\end{aligned}\quad (16)$$

$$\begin{aligned}\tilde{\beta}_{n-1}(s') &\triangleq \log(\beta_n(s')) \\ &= \log \sum_s \exp(\tilde{\beta}_n(s) + \tilde{\gamma}_n(s', s))\end{aligned}\quad (17)$$

$$\tilde{\gamma}_n(s', s) \triangleq \log(\gamma_n(s', s))\quad (18)$$

$$\begin{aligned}L(u_n) &= \log \left( \sum_{s^+} \exp(\tilde{\alpha}_{n-1}(s') + \tilde{\gamma}_n(s', s) + \tilde{\beta}_n(s)) \right) \\ &\quad - \log \left( \sum_{s^-} \exp(\tilde{\alpha}_{n-1}(s') + \tilde{\gamma}_n(s', s) + \tilde{\beta}_n(s)) \right)\end{aligned}$$

# Décodage MAP par bit

Algorithme BCJR dans domaine logarithmique

## Opérateur $\max^*(x, y)$

$$\max(x, y) = \log \left( \frac{e^x + e^y}{1 + e^{-|x-y|}} \right) \quad (19)$$

$$\begin{aligned} \max^*(x, y) &\triangleq \log(e^x + e^y) \\ &= \max(x, y) - \log(1 + e^{-|x-y|}) \end{aligned} \quad (20)$$

$$\begin{aligned} \max^*(x, y, z) &\triangleq \log(e^x + e^y + e^z) \\ &= \max^*(\max^*(x, y), z) \end{aligned} \quad (21)$$

## Log-MAP (log-BCJR)

$$\tilde{\alpha}_n(\mathbf{s}) = \max_{\mathbf{s}'}^* (\tilde{\alpha}_{n-1}(\mathbf{s}') + \tilde{\gamma}_n(\mathbf{s}', \mathbf{s})) \quad (22)$$

$$\tilde{\beta}_{n-1}(s') = \max_s^* (\tilde{\beta}_n(s) + \tilde{\gamma}_n(s', s)) \quad (23)$$

$$L(u_n) = \max_{S^+}^* (\tilde{\alpha}_{n-1}(s') + \tilde{\gamma}_n(s', s) + \tilde{\beta}_n(s)) - \max_{S^-}^* (\tilde{\alpha}_{n-1}(s') + \tilde{\gamma}_n(s', s) + \tilde{\beta}_n(s)) \quad (24)$$

- Implémentation simplifiée par l'opérateur  $\max(\cdot)$  et utilisation de lookup table.
- stabilité numérique accrue.

# Décodage MAP par bit

Algorithme BCJR dans domaine logarithmique

## Log-MAP (log-BCJR) : cas Gaussien

$$\begin{aligned}\tilde{\gamma}_n(s', s) &= \log(\gamma_n(s', s)) \\ &= \log(P(u_n)) - \log(2\pi\sigma^2) - \frac{1}{2\sigma^2} \sum_{m=1}^{n_c} |y_n^{(m)} - c_n^{(m)}(s', s)|^2\end{aligned}$$

en se référant au critère MAP final, la constante peut-être supprimée.

## Max-Log-MAP

- Remplacer l'opérateur  $\max^*(.)$  par l'opérateur  $\max(.)$  seul.
- Complexité diminuée, mais perte de performances (raisonnable).  
⇒ décodeur implémenté en pratique

# Bibliographie

- A. Glavieux and all, *Channel coding in communication networks : from theory to turbocodes*, Volume 3 de Digital Signal Image Processing Series, John Wiley Sons, 2007.
- Claude Berrou and all, *Codes and Turbo Codes*, Collection IRIS Series, IRIS International, Springer, 2010.
- W.E. Ryan, Shu Lin, *Channel codes : classical and modern*, Cambridge University Press, 2009.
- Shu Lin, Daniel J. Costello, *Error control coding : fundamentals and applications*, Édition 2, Pearson-Prentice Hall, 2004.
- T. Richardson, R. Urbanke, *Modern coding theory*, Cambridge University Press, 2008.